

## КРАТКИЕ СООБЩЕНИЯ

УДК 539.17.01

Н. Ф. НЕЛИПА, А. Е. ПУХОВ

МОДЕЛЬ НЕЗАВИСИМЫХ СОУДАРЕНИЙ ДЛЯ  
ВЗАИМОДЕЙСТВИЙ ЯДЕР С ЯДРАМИ ПРИ ВЫСОКИХ  
ЭНЕРГИЯХ

1. В последние годы исследованию взаимодействия адронов с ядрами и ядер с ядрами уделяется большое внимание. Интерес к этому вопросу был вызван тем, что, рассеивая адроны на ядрах, можно получить информацию о пространственно-временной картине взаимодействия [1].

В последнее время разработан ряд моделей [2—5], успешно описывающих различные характеристики адрон-ядерных взаимодействий. Одной из них является модель Капеллы и Кржывицкого [4, 5], в которой взаимодействие адрон — ядро описывается многореджонным обменом. Преимуществом такого подхода является возможность описывать одновременно упругий и неупругий канал реакции. При этом для упругого сечения получается обычная глауберовская формула. Для процессов множественного рождения реджонный подход, как показано в [4, 5], приводит к модели независимых соударений, в которой налетающий адрон сталкивается независимо с различными нуклонами ядра, тратя при каждом столкновении часть своей энергии на рождение частиц. Эта модель успешно описывает инклюзивное распределение рожденных частиц при энергии налетающего адрона  $E > 100$  ГэВ.

Настоящая статья посвящена исследованию процессов множественного рождения при столкновении ядер с ядрами. Показано, что реджонный подход к взаимодействию ядер с ядрами приводит к модели независимых соударений.

2. Как известно, процессы множественного рождения вследствие оптической теоремы связаны с процессами упругого рассеяния. На языке фейнмановских графиков это означает, что множественное рождение частиц описывается диаграммами, которые получаются при разрезании диаграмм, описывающих упругое рассеяние. Поэтому анализ множественного рождения удобно начинать с анализа диаграмм, дающих основной вклад в упругое рассеяние, а затем рассмотреть разрезы этих диаграмм. Отметим, что такой подход обеспечивает выполнение оптической теоремы.

Будем предполагать, что нуклон-нуклонное взаимодействие при больших энергиях описывается многореджонным обменом [6] (рис. 1). Обмен несколькими реджонами может быть описан непланным мандельштамовским графиком [6] (рис. 2). Если пренебречь взаимодействием реджонов, которое описывается малой трехреджонной вершиной, то графики (рис. 2) являются единственным известным типом графиков, дающих не исчезающий вклад в  $s^{-1} \text{Im} f(s, t)$  при  $s \rightarrow \infty$ .

С точки зрения такого подхода к описанию нуклон-нуклонной амплитуды амплитуда рассеяния ядра на ядре должна описываться графиками, в которых каждый нуклон ядра  $A$  обменивается некоторым числом реджионов с нуклонами ядра  $B$  (рис. 3,  $a$ ). Как обычно, будем считать, что имеет место факторизация многореджионных вершин [6]. В этом случае можно просуммировать независимо для каждой пары взаимодействующих нуклонов многореджионные обмены в один нуклон-нуклонный блок (рис. 1; 3,  $b$ ). Следовательно, факторизация многореджионных вершин приводит к амплитуде рассеяния ядро — ядро,

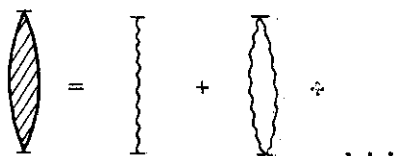


Рис. 1. Представление нуклон-нуклонного взаимодействия реджионными диаграммами

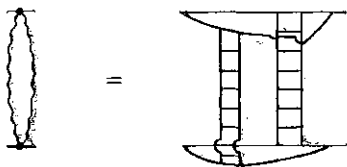


Рис. 2. Представление многореджионного обмена мандельштамовским графиком

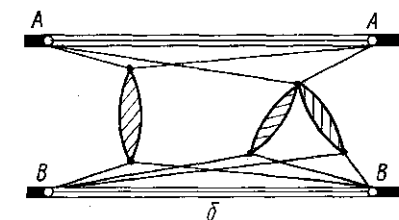
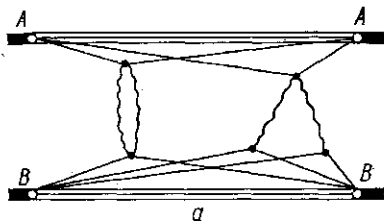


Рис. 3. Упругое рассеяние ядра  $A$  на ядре  $B$ , выраженное через многореджионный обмен ( $a$ ) и нуклон-нуклонное взаимодействие ( $b$ )

выражающейся через нуклон-нуклонную амплитуду. Отсюда, обобщая работы [5, 7], можно получить глауберовскую формулу для упругого рассеяния ядра на ядре:

$$1 + \frac{i}{2} f^{AB}(b) = \int \prod_{i=1}^A \prod_{j=1}^B \left( 1 + \frac{i}{2} f(x_i - y_j) \right) \rho_A(x_1, \dots, x_A) \times \\ \times \rho_B(y_1 - b, \dots, y_B - b) d^2x_1 \dots d^2x_A d^2y_1 \dots d^2y_B, \quad (1)$$

где  $b$  — прицельный параметр;  $f(\xi)$  — амплитуда упругого рассеяния нуклонов в представлении прицельного параметра;  $\rho_A$  и  $\rho_B$  — ядерные плотности.

Чтобы получить информацию о множественном рождении, надо рассмотреть разрезы диаграмм вида, изображенного на рис. 3. Основной особенностью непланарных диаграмм, которыми мы описываем взаимодействие ядер, является наличие разрезов, проходящих через любое число нуклон-нуклонных блоков. Каждый нуклон-нуклонный блок может быть разрезан как по упругому, так и по неупругому каналу. Рождению частиц будет соответствовать разрез по неупругому каналу. Ясно, что разрез, рассекающий какой-либо набор нуклон-нуклонных блоков по неупругому каналу, связан с множественным рождением частиц в результате неупругого столкновения соответствующих пар нуклонов.

Пусть  $\Omega$  — некий набор пар нуклонов (один из которых принадлежит ядру  $A$ , а другой — ядру  $B$ ). Зафиксируем прицельный параметр  $b$ . Найдем вероятность того, что пары нуклонов из  $\Omega$  и только они взаимодействуют неупруго. Эта вероятность характеризует вклад в  $\text{Im } f^{AB}(b)$  от неупругих разрезов, которые проходят через все нуклон-нуклонные блоки, входящие в  $\Omega$ . Она может быть вычислена по следующим правилам [5]:

Надо рассмотреть диаграммы, в которых между всеми парами нуклонов, входящими в  $\Omega$ , имеет место взаимодействие. Так как соответствующие нуклон-нуклонные блоки разрезаются по неупругому каналу, амплитуда  $(i/2)f(x_i - y_j)$  для  $(i, j) \in \Omega$  должна быть заменена на  $p_{in}(x_i - y_j)$  — вероятность неупругого взаимодействия нуклонов с прицельным параметром  $\xi = x_i - y_j$ .

Каждый из оставшихся нуклон-нуклонных блоков может быть:

- оставлен слева от разреза, при этом его вклад останется неизменным:  $(i/2)f(\xi) \rightarrow (i/2)\bar{f}(\xi)$ ;

- оставлен справа от разреза, при этом его вклад следует заменить на сопряженную величину:  $(i/2)\bar{f}(\xi) \rightarrow -(i/2)f(\xi)$ ;

- разрезан по упругому каналу, при этом следует  $(i/2)f(\xi)$  заменить на  $(1/4)|f(\xi)|^2$ .

Поскольку мы должны рассматривать все возможные разрезы, необходимо для каждого нуклон-нуклонного блока, не входящего в  $\Omega$ , просуммировать вклады от всех трех возможных случаев  $a$ ,  $b$ ,  $c$ . Используя оптическую теорему

$$\text{Im } f(\xi) = \frac{1}{4}|f(\xi)|^2 + p_{in}(\xi), \quad (2)$$

получим, что вклад от каждого нуклон-нуклонного блока, не входящего в  $\Omega$ , будет

$$\frac{1}{2}if(\xi) - \frac{1}{2}i\bar{f}(\xi) + \frac{1}{4}|f(\xi)|^2 = -p_{in}(\xi). \quad (3)$$

Сделав соответствующие изменения в формуле (1), получим, что вероятность процессов, при которых пары нуклонов из  $\Omega$  и только они провзаимодействуют неупруго, равна

$$P_{\Omega}(b) = \int \prod_{(i,j) \in \Omega} p_{in}(x_i - y_j) \prod_{(k,l) \notin \Omega} (1 - p_{in}(x_k - y_l)) \times \\ \times \rho_A(x_1, \dots, x_A) \rho_B(y_1 - b, \dots, y_B - b) d^2x_1 \dots d^2x_A d^2y_1 \dots d^2y_B. \quad (4)$$

Итак, мы видим, что реджонный подход приводит к модели независимых соударений различных пар нуклонов.

#### СПИСОК ЛИТЕРАТУРЫ

- Канчели О. В. Неупругие взаимодействия быстрых адронов с ядрами.— Письма в ЖЭТФ, 1973, 18, с. 465—469.
- Николаев Н. Н. Взаимодействие частиц высоких энергий с ядрами.— Материалы Зимней школы ЛИЯФ по физике ядра и элементарных частиц. Л., 1976, ч. 2, с. 95—146.
- Шабельский Ю. М. Множественное рождение частиц на ядрах в кварковой модели.— Физика элементарных частиц (материалы 13 зимней школы ЛИЯФ). Л., 1978, с. 90—138.
- Capella A., Krzywicki A. Theoretical model of soft hadron-nuclei collisions at high energy.— Preprint LPTPE—77/31, Orsay, 1973, 35 p.
- Capella A., Krzywicki A. Inclusive production off nuclei.— Physics Letters, 1977, 67B, p. 84—88.

6. Абрамовский В. А., Грибов В. Н., Канчели О. В. Характер инклюзивных спектров и флуктуаций в неупругих процессах, обусловленных многопомерным обменом.— Ядерная физика, 1973, 18, с. 595—616.
7. Bertocchi L. Graphs and Glauber.— Nuovo Cim. 1972, 11A, p. 45—65.

Поступила в редакцию  
06.02.79

ВЕСТН. МОСК. УН-ТА. СЕР. 3. ФИЗИКА. АСТРОНОМИЯ, 1980, т. 21, № 5

УДК 538.614

М. В. ЧЕТКИН, Н. Н. ЕРМИЛОВА, И. Е. ЗУБЦОВА, М. М. ЛУКИНА

## МАГНИТООПТИЧЕСКИЕ СВОЙСТВА ВИСМУТСОДЕРЖАЩИХ ОРТОФЕРРИТОВ

В последние годы возрос интерес к исследованию висмутсодержащих ферритов-гранатов, обладающих аномально большим отрицательным фарадеевским вращением [1]. Было установлено, что величина фарадеевского вращения пропорциональна концентрации висмута [2]. Однако природа механизма, ответственного за такое увеличение вращения, до сих пор окончательно не ясна. Влияние  $\text{Vi}^{3+}$  также было обнаружено и при измерении полярного эффекта Керра в перовските  $(\text{La, Vi, Sr})\text{MnO}_3$  [3].

В связи с этим представляют интерес исследования влияния висмута на эффект Фарадея в слабых ферромагнетиках — ортоферритах.

Первые измерения на висмутсодержащих ортоферритах были проведены Вудом, Ремейкой и др. [4]. Они исследовали зависимость температуры спиновой переориентации  $\text{Y}_x\text{Er}_{1-x}\text{FeO}_3$  и  $\text{Bi}_x\text{Er}_{1-x}\text{FeO}_3$  от концентрации замещения. Было найдено, что влияние  $\text{Bi}^{3+}$  на изменение этой температуры значительно сильнее влияния  $\text{Y}^{3+}$ .

В данной работе исследовались ортоферриты  $\text{Bi}_x\text{Dy}_{1-x}\text{FeO}_3$  ( $x = 0,0035; 0,02; 0,14$ ), выращенные методом спонтанной кристаллизации из раствора в расплаве.

Параметры решеток данных ортоферритов были измерены на автоматическом рентгеновском дифрактометре и для  $\text{Bi}_{0,14}\text{Dy}_{0,86}\text{FeO}_3$  составляют:  $a = (5,315 \pm 0,002)$  А;  $b = (5,605 \pm 0,002)$  А;  $c = (7,643 \pm 0,002)$  А. Линейная зависимость объема элементарной ячейки  $\text{Bi}_x\text{Dy}_{1-x}\text{FeO}_3$  от концентрации висмута совпадает с аналогичной зависимостью для  $\text{Bi}_x\text{Y}_{3-x}\text{Fe}_5\text{O}_{12}$ , полученной в работе [5].

На рис. 1, а, и 1, б, представлены дисперсионные зависимости  $2\delta I/I$  в пластинках монокристаллов  $\text{Bi}_{0,0035}\text{Dy}_{0,9965}\text{FeO}_3$  и  $\text{Bi}_{0,02}\text{Dy}_{0,98}\text{FeO}_3$  толщиной 280 мкм и 100 мкм соответственно, вырезанных перпендикулярно оси [001]. Здесь  $2\delta I$  — интенсивность света, прошедшего через систему поляризатор — образец — анализатор, повернутый под углом  $45^\circ$  к поляризатору, при включенном магнитном поле,  $I$  — интенсивность света, прошедшего через систему в отсутствие магнитного поля. На рис. 1, а, и 1, б, кривая 1 соответствует направлению поляризации падающего излучения, совпадающего с осью [010], а кривая 2 — поляризации, совпадающей с осью [100]. Точность определения величины  $2\delta I/I$  составляет  $4 \cdot 10^{-4}$ .

На рис. 2 представлена дисперсионная зависимость коэффициентов поглощения  $\text{Bi}_{0,02}\text{Dy}_{0,98}\text{FeO}_3$  для двух взаимно перпендикулярных поляризаций падающего света. Для кривых 1 и 2 электрический вектор  $\mathbf{e}$  параллелен осям [010] и [100] соответственно. С увеличением